

Solución numérica de ecuaciones en derivadas parciales

Ecuaciones diferenciales parciales elípticas

Ing. Jesús Javier Cortés Rosas
M. en A. Miguel Eduardo González Cárdenas
M. en A. Víctor D. Pinilla Morán *

2011

Resumen

Introducción. La ecuación en derivadas parciales elípticas. Ejemplo de aplicación.
Conclusiones.

1. Introducción

El problema de la distribución de calor en las dimensiones de una placa delgada sujeta a una fuente calorífica. A partir de la ecuación de Laplace puede conocerse la temperatura en diversos puntos en esta placa delgada.

2. La ecuación en derivadas parciales elípticas

La ecuación en derivadas parciales a estudiar será la ecuación de Laplace, que es un caso particular de la ecuación de Poisson cuando $f(X, Y) = 0$ que tiene la siguiente forma:

$$\frac{\partial^2}{\partial X^2}U(X, Y) + \frac{\partial^2}{\partial Y^2}U(X, Y) = f(X, Y) = 0 \quad (1)$$

Para $(X, Y) \in \mathbb{R}$. De acuerdo al método de diferencias finitas debe disponerse de los valores de los pasos para la variable X y Y . Si los intervalos de solución para X y Y respectivamente son $[a, b]$ y $[c, d]$, sean n y m el número de espacios, el tamaño de los pasos será $\Delta X = \frac{b-a}{n}$ y $\Delta Y = \frac{d-c}{m}$. En consecuencia, los valores de las variables independientes serán: $X_i = a + i\Delta X$ y $Y_j = c + j\Delta Y$.

Las rectas $X = X_i$ y $Y = Y_j$ que se trazan dentro de la placa se denomina *líneas de red* y sus intersecciones se llaman *puntos de red*. Cada punto de red que forma la malla tendrá la forma (X_i, Y_j) para $i = 1, 2, 3, \dots, n-1$ y $j = 1, 2, 3, \dots, m-1$, como se aprecia en la figura 1.

*Facultad de Ingeniería, UNAM. Profesores de tiempo completo del Departamento de Matemáticas Aplicadas de la División de Ciencias Básicas

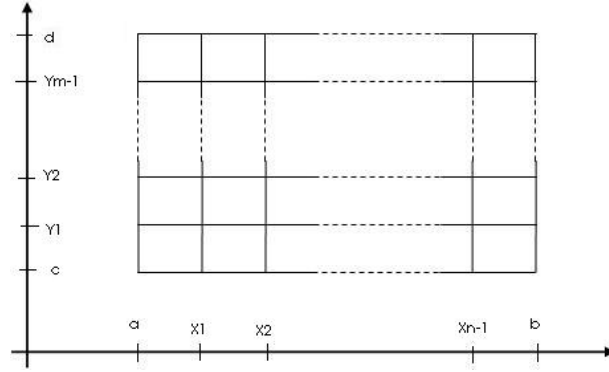


Figura 1: Líneas de red

Las ecuaciones numéricas de derivación parcial [1] propuestas y que serán sustituidas en la ecuación (1) son:

$$\left. \frac{\partial^2 U}{\partial X^2} \right|_{i,j} = \frac{1}{(\Delta X)^2} [U_{i-1,j} - 2U_{i,j} + U_{i+1,j}] + O(h^2) \quad (2)$$

$$\left. \frac{\partial^2 U}{\partial Y^2} \right|_{i,j} = \frac{1}{(\Delta Y)^2} [U_{i,j-1} - 2U_{i,j} + U_{i,j+1}] + O(h^2) \quad (3)$$

Lo cual resulta:

$$\frac{1}{(\Delta X)^2} [U_{i-1,j} - 2U_{i,j} + U_{i+1,j}] + \frac{1}{(\Delta Y)^2} [U_{i,j-1} - 2U_{i,j} + U_{i,j+1}] = 0 \quad (4)$$

Esta ecuación tiene como punto pivote a $U_{i,j}$ y en torno a él el resto de puntos, de acuerdo a la figura 2.

Si usamos la información de las condiciones de frontera [2] donde sea apropiado en el sistema que se producirá al pivotar la ecuación (4) en todos los puntos (X_i, Y_j) que están adyacentes a un punto de red en la frontera se tendrá un sistema de $(n-1)(m-1)$ ecuaciones lineales con $(n-1)(m-1)$ incógnitas, siendo éstas las aproximaciones de $U(n-1)(m-1)$ para los puntos interiores de la red.

3. Ejemplo de aplicación

Se tiene una delgada placa de acero que tiene la forma de rectángulo de $10 \text{ cm} \times 20 \text{ cm}$. Uno de los bordes de 10 cm se mantiene a 100°C y los otros tres bordes a 0°C como se observa en la figura 3. Las condiciones de frontera son:

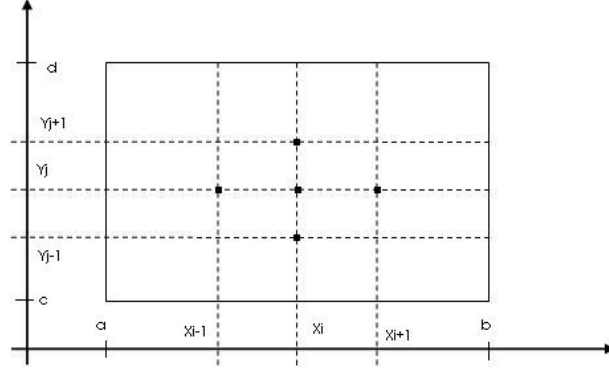


Figura 2: Puntos para pivotar de la ecuación de recurrencia

$$\begin{aligned}
 U(X, 0) &= 0^\circ c \\
 U(X, 10) &= 0^\circ c \\
 U(0, Y) &= 0^\circ c \\
 U(20, Y) &= 100^\circ c
 \end{aligned} \tag{5}$$

La pregunta es: ¿cómo se distribuye la temperatura al interior de la placa?. Por claridad se renombrará a los puntos i, j como P_i y a su temperatura $U_{i,j}$ como $W(P_i)$, tomados de izquierda a derecha y de arriba hacia abajo. Si planteamos un ejercicio inicial en donde $n = 4$ y $m = 2$, los espaciamientos son, de acuerdo con la figura 4:

$$\begin{aligned}
 \Delta X &= \frac{20-0}{4} = 5 \\
 \Delta Y &= \frac{10-0}{4} = 5
 \end{aligned}$$

Sustituyendo en la ecuación 4:

$$\begin{aligned}
 \frac{1}{25} [U_{i-1,j} - 2U_{i,j} + U_{i+1,j}] + \frac{1}{25} [U_{i,j-1} - 2U_{i,j} + U_{i,j+1}] &= 0 \\
 \frac{1}{25} [U_{i-1,j} + U_{i+1,j} + U_{i,j-1} + U_{i,j+1} - 4U_{i,j}] &= 0
 \end{aligned} \tag{6}$$

Sea $W_i = U(P_i)$, las ecuaciones son:

$$\begin{aligned}
 \frac{1}{25} [-4W_1 + W_2] &= 0 \\
 \frac{1}{25} [W_1 - 4W_2 + W_3] &= 0 \\
 \frac{1}{25} [W_2 - 4W_3 + 100] &= 0
 \end{aligned}$$

Resolviendo el sistema se obtiene: $W_1 = 1,786, W_2 = 7,142$ y $W_3 = 26,786$.

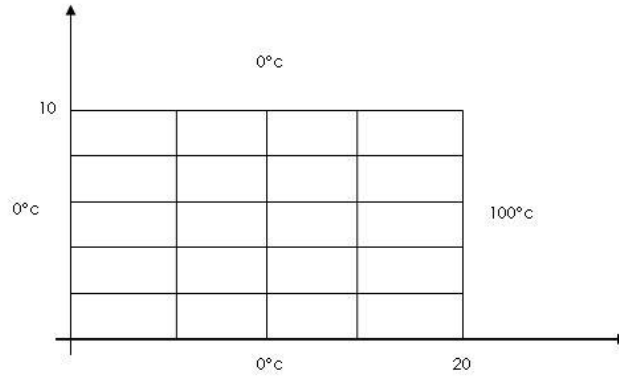


Figura 3: Condiciones de frontera

Estos resultados resultan muy poco aproximados al fenómeno real. Realizando un ejercicio más preciso, se propone a $n = 8$ y $m = 4$ que arroja una $\Delta X = \Delta Y = 2,5$. La malla resultante será la mostrada en la figura 5.

El sistema de ecuaciones producto del pivoteo es:

$$-4W_1 + W_2 + W_8 = 0$$

$$W_1 - 4W_2 + W_3 + W_9 = 0$$

$$W_2 - 4W_3 + W_4 + W_{10} = 0$$

$$W_3 - 4W_4 + W_5 + W_{11} = 0$$

$$W_4 - 4W_5 + W_6 + W_{12} = 0$$

$$W_5 - 4W_6 + W_7 + W_{13} = 0$$

$$W_6 - 4W_7 + W_{14} = -100$$

$$W_1 - 4W_8 + W_9 + W_{15} = 0$$

$$W_2 + W_8 - 4W_9 + W_{10} + W_{16} = 0$$

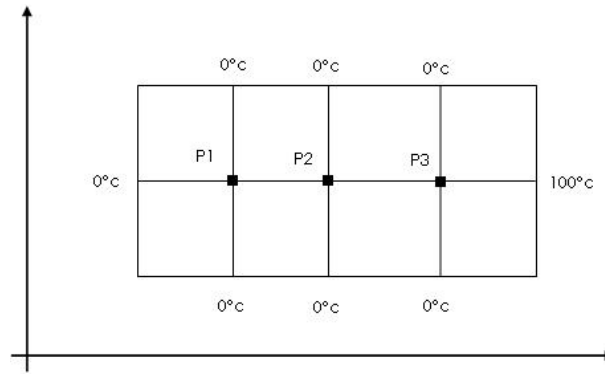
$$W_3 + W_9 - 4W_{10} + W_{11} + W_{17} = 0$$

$$W_4 + W_{10} - 4W_{11} + W_{12} + W_{18} = 0$$

$$W_5 + W_{11} - 4W_{12} + W_{13} + W_{19} = 0$$

$$W_6 + W_{12} - 4W_{13} + W_{14} + W_{20} = 0$$

$$W_7 + W_{13} - 4W_{14} + W_{21} = -100$$

Figura 4: Pivoteo para $n = 4$ y $m = 2$

$$W_8 - 4W_{15} + W_{16} = 0$$

$$W_9 + W_{15} - 4W_{16} + W_{17} = 0$$

$$W_{10} + W_{16} - 4W_{17} + W_{18} = 0$$

$$W_{11} + W_{17} - 4W_{18} + W_{19} =$$

$$W_{12} + W_{18} - 4W_{19} + W_{20} = 0$$

$$W_{13} + W_{19} - 4W_{20} + W_{21} = 0$$

$$W_{14} + W_{20} - 4W_{21} = -100$$

Y su resultado:

$$W_1 = 0,3530 \quad W_8 = 0,4988 \quad W_{15} = 0,3530$$

$$W_2 = 0,9132 \quad W_9 = 1,2894 \quad W_{16} = 0,9132$$

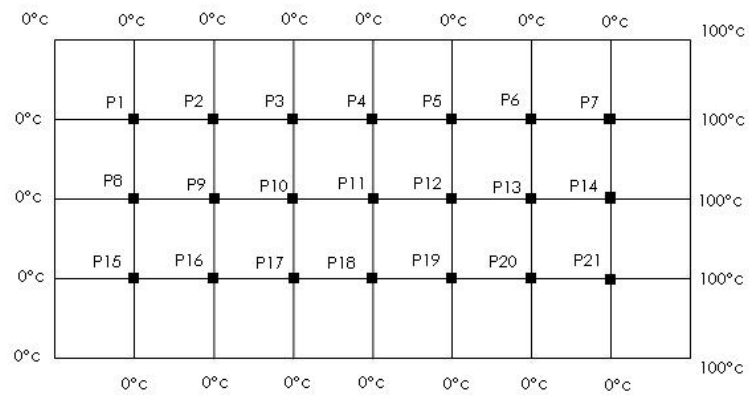
$$W_3 = 2,0103 \quad W_{10} = 2,8323 \quad W_{17} = 2,0103$$

$$W_4 = 4,2957 \quad W_{11} = 6,0193 \quad W_{18} = 4,2957$$

$$W_5 = 9,1531 \quad W_{12} = 12,6537 \quad W_{19} = 9,1531$$

$$W_6 = 19,6631 \quad W_{13} = 26,2983 \quad W_{20} = 19,6631$$

$$W_7 = 43,2101 \quad W_{14} = 53,1774 \quad W_{21} = 43,2101$$

Figura 5: Malla para $n = 8$ y $m = 4$

4. Conclusiones

Como ha podido demostrarse, la ecuación de Laplace puede resolverse con la aproximación deseada a partir del método de las diferencias finitas; quienes hayan experimentado la solución de la ecuación por medios analíticos podrán contrastar la dificultad que existe entre ambos; sin embargo, cuando se requiere alguna simulación matemática el método numérico es el más apropiado.

1

Referencias

- [1] Iriarte-Vivar Rafael. *Métodos numéricos*. México 1990.
- [2] Gerald Curtis F. *Análisis numérico*. 2a ed. México 1991.

¹Editado por Juan Carlos Marín Helú. Junio 2011